

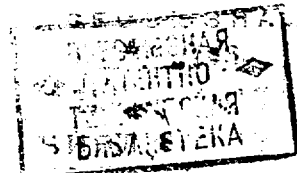
СОЮЗ СОВЕТСКИХ
СОЦИАЛИСТИЧЕСКИХ
РЕСПУБЛИК

(19) SU (01) 1207629 A

(50) 4 B 22 F 3/20 // H 01 F 1/113

ГОСУДАРСТВЕННЫЙ КОМИТЕТ СССР
ПО ДЕЛАМ ИЗОБРЕТЕНИЙ И ОТКРЫТИЙ

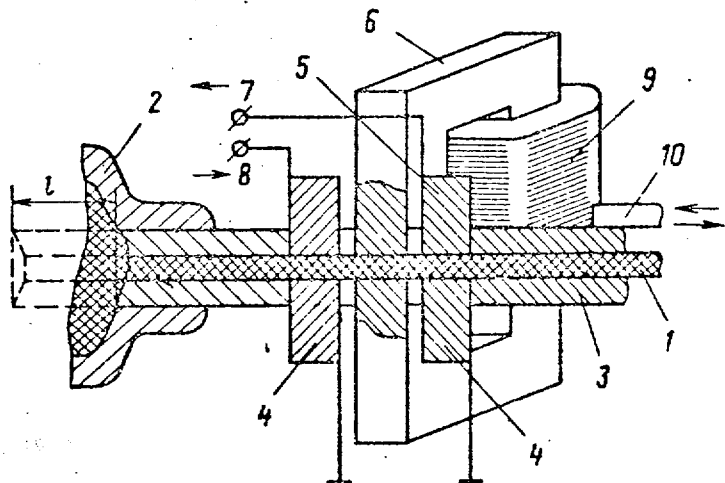
22 АПР 1986



ОПИСАНИЕ ИЗОБРЕТЕНИЯ К АВТОРСКОМУ СВИДЕТЕЛЬСТВУ

- (21) 3727889/22-02
(22) 11.04.84
(46) 30.01.86. Бюл. № 4
(71) Институт механики металлокомплексных систем АН БССР
(72) Л. С. Пинчук, И. М. Вертячих, Ю. И. Воронежцев, В. А. Гольдаде, В. В. Снежков, К. С. Азбукин и С. Я. Либерман
(53) 621.318.2(088.8)
(56) Авторское свидетельство СССР № 750583, кл. В 22 F 3/20, 1978.
Патент США № 2999271, кл. 264-24, 1961.
(54)(57) СПОСОБ ИЗГОТОВЛЕНИЯ ЭЛАСТИЧНЫХ ПОСТОЯННЫХ МАГНИТОВ, включающий смешение дисперсного магнитотвердого

феррита с органическим связующим и экструзию полученной смеси при одновременном воздействии магнитного поля, ориентированного по нормали к направлению экструзии, отличаясь тем, что, с целью увеличения анизотропии магнитных свойств, в качестве магнитного поля используют постоянное однонаправленное сканирующее магнитное поле и дополнительно воздействуют на смесь стационарным или сканирующим электрическим полем напряженностью 1-50 кВ/см, причем электрическое поле накладывают на экструдируемую смесь с запаздыванием относительно магнитного поля.



Фиг.1

Изобретение относится к порошковой металлургии, в частности к способам получения эластичных постоянных магнитов, обладающих анизотропией магнитных свойств, и может быть использовано в химической промышленности при изготовлении магнитов, применяемых в системах герметизации, роторах электрических двигателей, магнитных масляных насосах, транспортных лентах и т.д.

Целью изобретения является увеличение анизотропии магнитных свойств эластичных постоянных магнитов.

В основе изобретения лежит, во-первых, способность частиц магнитотвердого материала ориентироваться нормально направлению экструдирования под действием постоянного магнитного поля, имеющего аналогичное направление. Во-вторых, такая ориентация совершается более полно и с меньшей затратой энергии под действием сканирующего магнитного поля, которое при многократном воздействии вызывает колебание частиц, облегчая их ориентацию вдоль силовых линий магнитного поля. В-третьих, воздействие электрического поля напряженностью 1-50 кВ/см на окладываемый расплав экструдируемой смеси приводит к поляризации связующего, которая, в частности, сопровождается ориентационной поляризацией диполей и ионной поляризацией смещения сегментов макромолекул. Это облегчает ориентацию частиц магнитотвердого материала и способствует их более жесткой фиксации в полимерном связующем, макромолекулы которого также получили преимущественную ориентацию в электрическом поле. В-четвертых, запаздывание вектора электрического поля относительно вектора магнитного поля при сканировании создает благоприятные условия для фиксации магнитотвердых частиц, так как поворот частиц под действием магнитного поля вызывает смещение и деформацию макромолекул в слоях связующего вблизи частиц. Из-за протекания в связующем релаксационных процессов создаются механические напряжения, которые стремятся вернуть частицы в исходное положение. Электрическая поляризация смещенных и деформированных макромолекул снимает эти напряжения и

способствует более надежной фиксации частиц в связующем.

Совокупность этих факторов приводит к увеличению анизотропии магнитных свойств эластичных магнитов в направлении нормали к направлению экструдирования. При этом нижняя граница напряженности электрического поля составляет 1 кВ/см, а верхняя - 50 кВ/см, так как при напряженности более 50 кВ/см происходит электрический пробой смеси.

Увеличение анизотропии магнитных свойств эластичных магнитов позволяет улучшить технические параметры устройств, а также повысить их стабильность.

На фиг. 1 изображено устройство для изготовления эластичных магнитов прямоугольного профиля со сканированием магнитного и электрического поля; на фиг. 2 - смещение амплитуды электрического поля относительно магнитного; на фиг. 3 - схема устройства для изготовления эластичных кольцевых анизотропных магнитов; на фиг. 4 - сечение А-А на фиг. 3; на фиг. 5 - смещение векторов электрического и магнитного полей в процессе экструзии магнитов; на фиг. 6 - устройство для изготовления эластичных магнитов со сканированием магнитного поля немеханическим методом; на фиг. 7 - сечение Б-Б на фиг. 6; на фиг. 8 - схема устройства для изготовления эластичных магнитов прямоугольного профиля с несколькими контурами намагничивания; на фиг. 9 - сечение В-В на фиг. 8.

Пример 1. Эластичный магнит прямоугольного профиля 1 (фиг. 1) выходит из экструдера 2 через мундштук 3, на котором смонтированы электроды 4 и 5, а также магнитопровод 6, имеющий разрыв для пропускания профиля. Электроды 4 заземлены, электроды 5 соединены через клеммы 7 и 8 с источником постоянного электрического напряжения. Магнитопровод 6 охватывает электромагнитная катушка 9. Мундштук снабжен приводом 10, создающим колебательные движения с амплитудой α .

Устройство работает следующим образом.

В процессе экструдирования включают питание катушки 9 и привод 10. Колебания мундштука синхронизированы

с включением клемм 7 и 8 таким образом, что при движении мундштука слева направо клемма 7 включена, а клемма 8 отключена, при движении справа-налево клемма 8 отключена, а клемма 7 включена. Таким образом, магнитотвердые частицы в смеси, из которой формируют профиль, подвергаются воздействию сначала сканирующего магнитного поля напряженностью H , а затем - электрического (E), запаздывающего на полпериода (фиг. 2).

Пример 2. Формируется кольцевой анизотропный магнит, вдоль образующей которого чередуются участки с максимальной намагниченностью и немагнитные. Эластичный магнит кольцевого профиля 1 (фиг. 3 и 4) экструдируется через мундштук 3, на котором смонтировано вращающееся кольцо 11 из диамагнитного материала. На кольце закреплены постоянные магниты 12 и 13, разноименными полюсами контактирующие с профилем 1. Дорн 14 несет постоянный магнит 15, установленный в плоскости вращения магнитов 12 и 13. На расстоянии 1 от ближней к экструдеру грани магнита 15 установлен элекртрод 4 из диамагнитного металла, отделенный диэлектрической прокладкой 16 от дорна 14. Электрод 4 соединен с клеммой 7 источника постоянного напряжения. Кольцо заземлено и снабжено на поверхностях, контактирующих с мундштуком 3, антифрикционными покрытиями 17.

В процессе экструзии приводят во вращение кольцо 11, создавая сканирующее магнитное поле на участках профиля, расположенных между разноименными полюсами магнитов 12, 13 и 15. При прохождении профилем 1 участка между кольцом 11 и электродом 4, на который подано высокое электрическое напряжение с клеммы 7, происходит поляризация полимерного связующего магнитной смеси. В результате частицы магнитотвердого наполнителя ориентируются под действием вращающегося магнитного поля на участках вдоль образующей профиля, расположенных против полюсов магнита 15, причем намагниченные участки чередуются с немагнитными. Длина участков зависит от соотношения скоростей экструзии и вращения кольца 11. Вектор поляризующего электрического поля E (фиг. 5) от-

стает от вектора магнитного поля H на угол, величина которого обусловлена соотношением скорости экструзии и длины.

Пример 3. Экструдируемый профиль 1 (фиг. 6 и 7) в виде кольца формируется с помощью заземленного мундштука 3. В последнем установлены магнитопроводы 6, выполненные в виде круглых стержней, выходящих из начального участка дорна 14 и замыкающихся на экструдируемый профиль. На каждой из четырех ветвей магнитопровода смонтирована электромагнитная катушка 9, соединенная с блоком 3 автоматического управления. Магнитопроводы 6 установлены в мундштук 3 с помощью диамагнитных втулок 19. На выходном конце дорна 20 через диэлектрическую прокладку 16 закреплен электрод 4, соединенный с клеммой 7 источника электрического напряжения.

В процессе формирования профиля 1 при включении катушки 9 в зазоре магнитопроводов 6 и дорна 14 создается магнитное поле, ориентирующее частицы магнитотвердого наполнителя вдоль силовых линий. Изменяя последовательность включения катушки с помощью блока 18, можно реализовать различные варианты сканирования. Диамагнитные втулки 19 препятствуют рассеянию поля. При прохождении профиля между заземленным мундштуком 3 и электродом 4, на который подано электрическое напряжение от клеммы 7, происходит поляризация полимерного связующего, способствующая фиксации ориентированных частиц наполнителя.

Пример 4. Экструдируемый прямоугольный профиль 1 (фиг. 7) выходит из мундштука 3, корпус которого выполнен из диамагнитного материала и заземлен. В мундштуке закреплены магнитопроводы 6, на каждом из которых смонтирована электромагнитная катушка 9, соединенная с блоком 18 автоматического управления. Выходной конец мундштука выполнен из двух частей, соединенных между собой и с корпусом мундштука посредством диэлектрических вставок 20 и 21. Одна из частей 22 заземлена, а другая 23 (фиг. 9) соединена с клеммой 7 источника электрического напряжения.

Устройство работает следующим образом.

При включении экструдера профиль 1 проходит по мундштуку 3. Блок 18 включает катушки 9 в определенной последовательности, определяющей режим сканирования магнитного поля. При прохождении смеси в зазоре магнитопровода 6, катушка которого включена, частицы наполнителя ориентируются в направлении поля. Контактирование профиля 1 с частями мундштука 22 и 23, на последнюю из которых подано напряжение от клеммы 7, приводит к поляризации полимерного связующего, закрепляющей ориентированное положение частиц наполнителя.

Пример 5. Изготавливали эластичные магниты прямоугольного профиля сечением 10x5 мм. Формирование образцов осуществляли методом экструзии, используя червячный экструдер ЧП20/25 (температура на выходе 105°C) и устройство, описанное в примере 4, с двумя контурами намагничивания. На образцы воздействовали электрическим и магнитным полями, ориентируемыми по нормали к направлению экструзии в различных вариантах.

Характеристики магнитных свойств – остаточную индукцию B_r , коэрцитивную силу H_c , магнитную индукцию (BH) – измеряли с помощью измерителя магнитной индукции типа ИМИ-3 в трех направлениях:

А – направление экструзии; Б – по нормали к направлению экструзии и вектору магнитного поля; В – направление вектора магнитного поля.

Измерения повторяли после экспозиции образцов в течение 30 сут при 50°C.

Результаты измерений представлены в таблице.

Для сравнения в таблице приведены характеристики таких же магни-

тов, полученных известным способом, а также способом, включающим воздействие сканирующим магнитным и стационарным или сканирующим электрическим полем при их параметрах и сочетаниях, выходящих за пределы изобретения.

Эластичные магниты по вариантам 1, 3, 6, 12 изготовлены из смеси поливинилбутираля (5 мас.-%), диметилфталата (5 мас.-%) и порошка феррита стронция (90 мас.-%), по остальным вариантам из смеси поливинилхлорида (5 мас.-%), дибутилфталата (5 мас.-%) и порошка феррита бария.

Как следует из таблицы, магниты, изготовленные в соответствии с изобретением, характеризуются наиболее высокой анизотропией магнитных свойств (варианты 1-5), так как магнитные характеристики в направлении приложения вектора магнитного поля (В) имеют наибольшее отличие от значения в двух других направлениях (В, Б). Кроме того, эти магниты в ряде случаев отличаются и более высокой стабильностью магнитных характеристик во времени, что характеризуется меньшим изменением их параметров между экспозициями 4 ч и 30 сут.

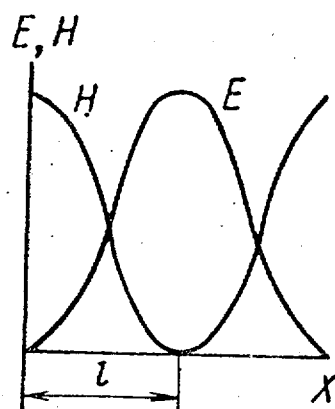
При выходе за пределы изобретения как по порядку проведения операций (варианты 9-11), так и по параметрам электрического поля (варианты 6-8), цель изобретения не достигается, так как анизотропия магнитных свойств практически не отличается от ее уровня для магнитов, полученных известным способом.

Использование изобретения в народном хозяйстве позволяет получить значительный экономический эффект за счет улучшения параметров изделий с эластичными постоянными магнитами и сроков их эксплуатации.

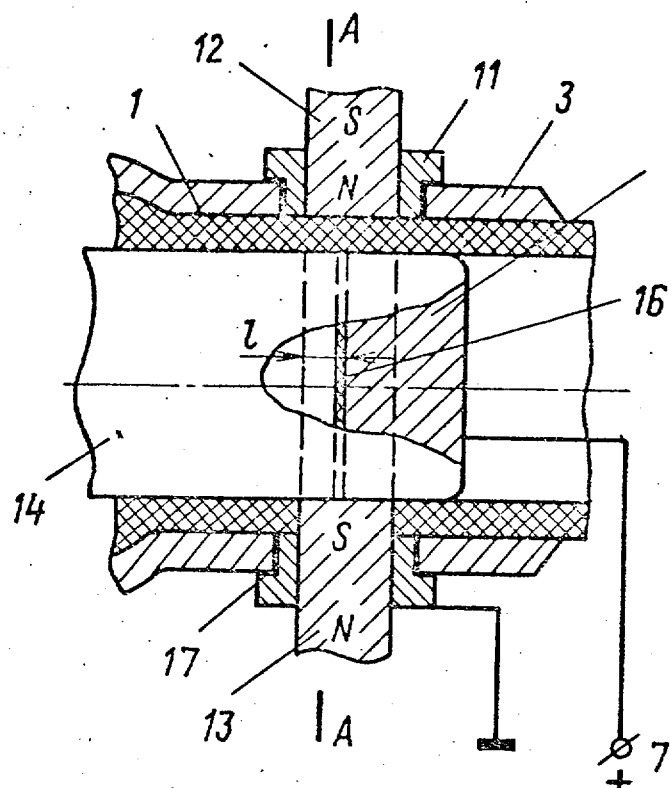
Способ изготов- ления	Параметры магнитного поля	Параметры электри- ческого поля						Магнитные характеристики					
		Тип	Напря- жен- ность, H, м А/м	Часто- та пе- ре- мены, Гц, кГц/ сн	Тип	Напря- жен- ность, E, кВ/ сн	Часто- та пе- ре- мены, Гц, кГц/ сн	Сдвиг маг- нита на изме- ни- ниях поля,	Направ- ление изме- нениях поля	Экспози- ция меж- ду изго- товлен- ием и из- мерением	Индукция, Bc, Т _A	Хотритив- ная сила, H _c , кА/м	Магнитная энергия (BH) макс. кДж/м ³
Препла- гающий	1	Скани- рующий	50	2	Стаци- онарный	-	-0,25	A	0,07/0,07	120/114	0,6/0,5		
To же	2	Скани- рующий	30	2	Скани- рующий	30	2	-0,25	A	0,19/0,18	187/185	6,3/6,2	
При па- раллельных записях	6	Скани- рующий	50	5	Стаци- онарный	0,5	-	-0,1	A	0,08/0,08	124/122	0,8/0,8	
To же	7	Скани- рующий	50	2	Стаци- онарный	60	-	-0,5	A	0,19/0,19	192/190	6,5/6,4	
To же	8	Скани- рующий	40	2	Скани- рующий	0,5	2	-0,2	A	0,10/0,11	120/129	1,2/1,4	
Препла- гающий	3	Скани- рующий	50	2	Стаци- онарный	50	-	-0,2	A	0,11/0,10	127/125	1,3/1,2	

Продолжение таблицы

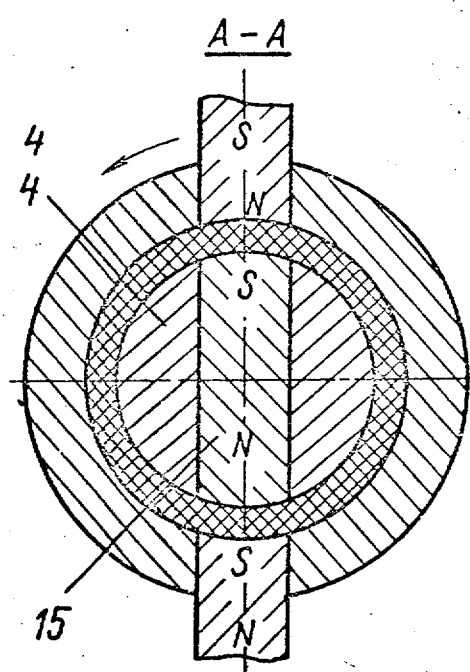
Способ	Вариант	Параметры магнитного поля			Параметры электрического поля			Сдвиг момента на-	Направление изме-	Экспози-	Магнитные характеристики			
		Изучение	Коэффициент	Индукция, Вт, Тк	Нс, мА/м	Максимальная энергия (ЭК) макс. кДж/м ³								
№	№	Тип	Частота пе- рекро- жечки	Напря- жен- ность, Н, кА/м	Тип	Частота пе- рекро- жечки	Напря- жен- ность, Е, кВ/ см	дения	тоген- тии и из- мерением	магнит- ных ха- ракте- ристик	пола,	с		
To же	4	Скани- рующий	40	2	Скани- рующий	1	2	-0,2	A	0,07/0,07	119/114	0,6/0,5		
To же	5	Скани- рующий	70	5	Скани- рующий	50	5	-0,1	B	То же	0,06/0,06	118/114	0,5/0,5	
При пара- метрах, выполни- вших № 4 преде- множе- ния	9	Скани- рующий	50	2	Скани- рующий	30	2	0	A	0,18/0,18	87/80	6,8/6,2		
To же	10	Скани- рующий	40	-	Скани- рующий	30	2	-0,2	A	0,06/0,06	112/110	0,6/0,6		
Извест- ный	12	Перемен- ное и постоян- ное	-	-	-	-	-	-	B	0,28/0,27	200/198	7,1/7,0		
									B	0,05/0,06	110/110	0,5/0,6		
									B	0,19/0,18	181/179	6,2/5,9		
									B	0,10/0,11	125/129	1,2/1,3		
									B	4/30 сут	0,09/0,09	120/118	0,9/0,9	
									B	0,17/0,17	179/171	5,9/5,8		
									A	0,11/0,12	120/125	1,3/1,4		
									B	0,10/0,10	118/117	1,2/1,2		
									A	0,13/0,14	131/132	1,8/2,0		
									B	4/30 сут	0,12/0,12	129/128	1,7/1,7	
									B	0,20/0,18	198/180	6,3/5,8		



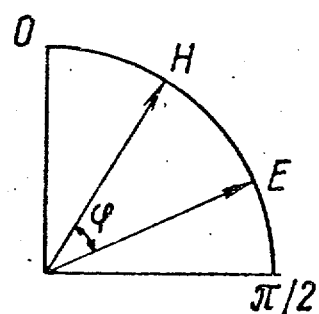
Фиг. 2



Фиг. 3



Фиг. 4



Фиг. 5

